

шается. Испытания системы на описанной модельной установке проведены при значениях пиковых давлений примерно 1500; 4000 и 8000 атм. Давление газа по окончании заклинивания составляли величины соответственно около 1250; 2200 и 3700 атм. Проведено несколько десятков циклов для каждого давления, работа системы была безотказной. При работе на максимальном давлении на внутренней поверхности ствола возникали отпечатки — следы давления клиньев. Идентичность (визуальная) отпечатков свидетельствует о равномерности распределения напряжений.

На другой модели использовался поршень диаметром 50 мм, имеющий величины  $\lambda$ ,  $\gamma$  и  $\beta$ , равные приблизительно 0,9; 0,87; 0,45 соответственно. Рабочее давление сжимаемого газа около 2000 атм. Максимальные радиальные напряжения в этом случае, согласно расчету, составляют около 1200 атм.

Следует отметить, что при проведении нескольких сотен циклов работы не было ни одного случая отказа системы или повреждения ее элементов.

Поступила 5 IV 1979

#### ЛИТЕРАТУРА

1. Von Karman Institute for Fluid Dynamics. Education and Research. 1956—1976, 1976.
2. Мещеряков А. А., Пинаков В. И. Поршень установки адиабатического сжатия. Авторское свидетельство № 390315.— Бюллетень, открытия, изобретения, промышленные образцы, товарные знаки, 1973, № 30.
3. Пономарев С. Д. и др. Расчеты на прочность в машиностроении. Т. 2. М., Машгиз, 1958.

УДК 539.376

### К РАСЧЕТУ ЭЛЕМЕНТОВ КОНСТРУКЦИЙ С УЧЕТОМ ПОВРЕЖДАЕМОСТИ МАТЕРИАЛА В ПРОЦЕССЕ ПОЛЗУЧЕСТИ

В. А. Заев, А. Ф. Никитенко

(Новосибирск)

При расчете элементов конструкций в большинстве случаев пренебрегают деформациями, накапливаемыми в третьей стадии ползучести [1, 2]. Однако, как следует из анализа экспериментальных данных [3], некоторые конструкционные материалы даже при незначительных деформациях порядка 1—2% обнаруживают резко выраженный третий участок ползучести.

Общепринятая при этом схема расчета напряженно-деформированного состояния и расчета на прочность элементов конструкций в условиях ползучести не учитывает того [1], что разрушению предшествует процесс накопления повреждений, который оказывает существенное влияние на скорость ползучести и приводит к перераспределению поля напряжений.

Ниже приведен расчет сосудов, нагруженных внутренним давлением, в котором отмеченные выше обстоятельства учитываются целиком. Определяется напряженно-деформированное состояние сосудов и нижняя граница времени разрушения. Отмечается, что по объему и сложности вычислительных процедур изложенный метод решения намного проще и эффективнее по сравнению с традиционными [1].

Пусть равномерно прогретый сосуд (сфера, цилиндр) нагружен постоянным во времени внутренним давлением  $p$ . Уравнения равновесия и граничные условия имеют вид [1, 2]

$$(1) \quad \partial \sigma_r / \partial r + k(\sigma_r - \sigma_\varphi) / r = 0, \quad a \leq r \leq b;$$

$$(2) \quad \sigma_r(a) = -p, \quad \sigma_r(b) = 0,$$

где  $a$ ,  $b$  — внутренний и наружный радиусы соответственно. Для цилиндрического сосуда  $k = 1$ , для сферического  $k = 2$ ,  $\sigma_r$ ,  $\sigma_\varphi$  — главные компоненты тензора напряжений, являющиеся функциями времени и координаты  $r$ . Оставшееся главное напряжение  $\sigma_\theta$  для сферического сосуда равно в случае центральной симметрии  $\sigma_\varphi$  [2], а  $\sigma_z$  для цилиндрического сосуда определяется из общепринятого допущения об отсутствии ползучести в осевом направлении [1, 2].

Компоненты тензора скорости деформаций ползучести связаны с компонентами вектора скорости перемещения известными соотношениями Коши [2], а уравнение сплошности скоростей деформаций ползучести имеет вид [2]

$$(3) \quad \partial \eta_\varphi / \partial r + (\eta_\varphi - \eta_r) / r = 0.$$

Систему уравнений, описывающую все три стадии ползучести материала и учитывающую процесс повреждаемости его во времени, запишем в виде [1, 4]

$$(4) \quad \eta_j = \frac{\partial \Phi_1 / \partial \sigma_j}{\mu^m (1 - \mu)^{\alpha / (\alpha + 1)}};$$

$$(5) \quad \mu = \left[ 1 - (\alpha + 1)(m + 1) \int_0^t \Phi_2 d\tau \right]^{1/(m+1)},$$

где  $j = r, \varphi, z$  для цилиндра;  $j = r, \varphi, \theta$  для сферы. Здесь  $\Phi_1, \Phi_2$  — однородные относительно напряжений функции степени  $(n + 1)$  и  $(g + 1)$  вида  $\Phi_1 = B_1 S_2^{(n+1)/2}$ ,  $\Phi_2 = B_2 S_2^{(g+1)/2}$ ,  $S_2$  — второй инвариант девиатора тензора напряжений ( $S_2 = (1/6)[(\sigma_1 - \sigma_2)^2 + (\sigma_2 - \sigma_3)^2 + (\sigma_3 - \sigma_1)^2]$ ).

Функция  $\mu$  связана с параметром повреждаемости  $\omega$  соотношением

$$(6) \quad \omega = (1 - \mu)^{1/(\alpha+1)},$$

получаемым интегрированием кинетического уравнения [1, 4]

$$d\omega/dt = \Phi_2 / \omega^\alpha (1 - \omega^{\alpha+1})^m, \quad \omega(r, 0) = 0, \quad \omega(r_*, t_*) = 1,$$

где  $B_1, B_2, m, n, g, \alpha$  — характеристики материала;  $t_*$  — время начала распространения фронта разрушения [1, 2], определяемое из (6) с использованием (5)

$$(7) \quad (\alpha + 1)(m + 1) \int_0^{t_*} \Phi_2 d\tau = 1.$$

Время  $t_*$ , при котором впервые в некоторой точке  $r_*$  тела  $\omega = 1$ , будем называть нижней границей времени разрушения тела (элемента конструкции).

Система уравнений (1) — (7) позволяет рассчитать напряженно-деформированное состояние сосудов, нагруженных внутренним давлением, на любой момент времени и определить нижнюю границу времени разрушения.

Решение поставленной задачи ищем в виде

$$(8) \quad \sigma_j(r, t) = \sigma_j^0(r) f(r, t) + C(r, t);$$

$$(9) \quad v_j(r, t) = v_j^0(r) F(t),$$

где  $v_j$  — компоненты вектора скорости перемещения;  $\sigma_j^0, v_j^0, f(r, t), C(r, t), F(t)$  — функции, подлежащие определению. Нуль вверху при соответствующей функции означает, что последняя зависит только от координаты  $r$ .

Из (9) имеем

$$(10) \quad \eta_j(r, t) = \eta_j^0 F(t).$$

Функцию  $f(r, t)$  выбираем из условия, чтобы при подстановке (8), (10) в уравнения связи (4) можно было бы в последних разделить переменные. Полагая, например, с точностью до произвольной функции времени

$$(11) \quad f = [\mu^m (1 - \mu)^{\alpha'(\alpha+1)} / X(t)]^{1/n},$$

получаем

$$\frac{\eta_j^0}{\partial \Phi_1^0 / \partial \sigma_j^0} = \frac{1}{F(t) X(t)} = \text{const.}$$

Принимая константу равной единице, убеждаемся, что

$$(12) \quad F(t) X(t) = 1,$$

а компоненты  $\eta_j^0, \sigma_j^0$  удовлетворяют уравнениям установившейся ползучести [1, 2]. Решение задачи установившейся ползучести для рассматриваемых сосудов, нагруженных тем же самым постоянным во времени внутренним давлением, считаем в дальнейшем известным [2].

Учитывая вышесказанное, можно видеть, что поле скоростей перемещений (9) тождественно удовлетворяет соотношениям Коши и нулевым граничным условиям. Уравнение сплошности скоростей деформаций ползучести (3) также удовлетворяется.

Подставляя компоненты тензора напряжений (8) в уравнение равновесия (1) и граничные условия (2), убеждаемся, что они удовлетворяются, если при этом функция  $C(r, t)$  на любой момент времени удовлетворяет дифференциальному уравнению

$$(13) \quad \frac{\partial C}{\partial r} + \sigma_r^0 \frac{\partial f}{\partial r} = 0$$

с граничным условием

$$(14) \quad C(a, t) = -p[1 - f(a, t)], \quad C(b, t) = 0.$$

Причина возникновения для дифференциального уравнения (13) двух граничных условий (14) вполне очевидна. Учитывая, что главный вектор напряжений  $\sigma_z$  равен силе внутреннего давления на доньшко трубы (или главный вектор напряжений  $\sigma_\theta$  равен силе внутреннего давления на поверхность полусферы), можно показать с учетом (8), что второе граничное условие для уравнения (13) тождественно удовлетворяется.

Переходим к определению функций  $\mu(r, t)$  и  $X(t)$ , через которые, согласно (11), выражается  $f(r, t)$ . Используя теорему энергии [2], имеем

$$(15) \quad \int_s T_j^0 v_j ds = \int_V \sigma_j^0 f(r, t) \eta_j^0 F(t) dV.$$

С другой стороны, учитывая, что  $v_j(r, t) = v_j^0 F(t)$ ,  $v_j^0$  совместны с  $\eta_j^0$ , а постоянные во времени внешние нагрузки  $T_j^0$  находятся в равновесии с  $\sigma_j^0$ , получаем

$$(16) \quad \int_s T_j^0 v_j ds = F(t) \int_V \sigma_j^0 \eta_j^0 dV.$$

Из сопоставления (15), (16) имеем

$$(17) \quad \int_V f(r, t) \sigma_j^0 \eta_j^0 dV = \int_V \sigma_j^0 \eta_j^0 dV.$$

Учитывая, что  $\sigma_j^0 \eta_j^0 = (n+1) \Phi_1^0$ , и применяя к первому интегралу в (17) теорему о среднем

$$(18) \quad \int_V f(r, t) \Phi_1^0 dV = \bar{f}(r(t), t) \int_V \Phi_1^0 dV,$$

окончательно получаем, что на любой момент времени должно выполняться равенство

$$\bar{f}(r(t), t) = 1, \quad 0 \leq t \leq t_*,$$

которое позволяет совместно с (11) определить функцию времени  $X(t)$

$$(19) \quad X(t) = \bar{\mu}^m (1 - \bar{\mu})^{\alpha(\alpha+1)}, \quad \bar{\mu} = \mu(\bar{r}(t), t).$$

Подставляя (8) в (5), получаем после простейших преобразований с учетом (11)

$$(20) \quad \int_1^{\mu} z^l (1-z)^{-\rho} dz = -[(m+1)t_*^0]^{-1} \int_0^t X^{-(g+1)/n} d\tau,$$

а из (17) с учетом (11) имеем

$$(21) \quad \int_V [\mu^m (1-\mu)^{\alpha(\alpha+1)}]^{1/n} \Phi_1^0 dV = X^{1/n} \int_V \Phi_1^0 dV.$$

Здесь

$$l = \frac{m(n-g-1)}{n}; \quad \rho = \frac{\alpha}{\alpha+1} \frac{g+1}{n}; \quad t_*^0 = [(\alpha+1)(m+1)\Phi_2^0]^{-1}.$$

При интегрировании в (20) необходимо учитывать, что  $1 \geq \mu(r, t) > 0$  при  $0 \leq t < t_*$ ,  $\mu(r_*, t_*) = 1$ ,  $X(0) = 1$ ,  $X(t_*) > 0$ . Это накладывает на характеристики материала некоторые ограничения, которые не являются, вообще говоря, слишком жесткими.

Из изложенного следует, что сформулированную выше задачу (1) — (7) теории ползучести с одновременным учетом повреждаемости материала можно свести к задаче установившейся ползучести. Чтобы получить искомого решение  $\sigma_j$ ,  $\eta_j$ , следует известное решение установившейся ползучести  $\sigma_j^0$ ,  $\eta_j^0$  умножить соответственно на функции  $f(r, t)$  и  $F(t)$ . Гидростатическая составляющая находится из решения дифференциального уравнения (13) и граничного условия (14).

Для определения же функций  $f(r, t)$  и  $F(t)$ , выражающихся, согласно (11), (12), через  $\mu(r, t)$  и  $\bar{\mu}(t)$ , требуется одним из известных численных методов решить систему уравнений (20), (21).

Подставляя (8) в (7), находим нижнюю границу времени разрушения, после которого из точки  $r = r_*$ , как наиболее напряженной, начнется распространение фронта разрушения

$$(22) \quad \int_0^{t_*} [f(r_*, t)]^{g+1} d\tau = t_*^0(r_*).$$

Так как функция  $f(r, t)$  связана с параметром повреждаемости  $\omega(r, t)$ , то из (8) следует, что последний оказывает существенное влияние на поле напряжений, способствуя перераспределению его с момента приложения нагрузки вплоть до начала разрушения. Очевидно, что  $f(r, 0) = 1$ ,  $C(r, 0) = 0$  и, следовательно, поле напряжений (8) при  $t = 0$  совпадает с установившимся распределением  $\sigma_j^0$ .

Ограничиваясь случаем разупрочняющегося в процессе ползучести материала, т. е. когда  $\alpha = 0$ , определим  $\mu$  и  $\bar{\mu}$  из системы уравнений (20), (21) следующим образом. Обозначая

$$\int_0^t \bar{\mu}^{-(m+1)\kappa} d\tau = u, \quad u(0) = 0, \quad \frac{du}{dt} = 1 \text{ при } t = 0,$$

$$\beta = m/(n + m(n - g - 1)), \quad \nu = (n + m(n - g - 1))/n(m + 1),$$

$$\kappa = m(g + 1)/n(m + 1), \quad \gamma = m/n(m + 1)$$

и подставляя  $\mu(r, t)$  из (20) в (21), получаем

$$(23) \quad \int_V \Phi_1^0 \left(1 - \frac{\nu}{t_*^0} u\right)^\beta dV = (du/dt)^{-\nu/\kappa} \int_V \Phi_1^0 dV.$$

Решение уравнения (23) ищем в виде ряда по степеням  $t$ :

$$u = \sum_{k=1}^{\infty} b_k t^k, \quad b_1 = 1.$$

Тогда для  $\mu(r, t)$  и  $\bar{\mu}(t)$  имеем

$$(24) \quad \mu^{m/n} = 1 + \sum_{k=1}^{\infty} B_k t^k;$$

$$(25) \quad \bar{\mu}^{m/n} = 1 + \sum_{k=1}^{\infty} D_k t^k,$$

где

$$B_k = \sum_{i=1}^k (-1)^i \frac{A_\beta^i}{i!} b_k^{(i)}; \quad b_k^{(i)} = \sum_{n=1}^{k-1} b_n^{(i)} b_{k-n}^{(i-1)};$$

$$b_k^{(i)} = 0 \text{ при } k < i, \quad i > 1; \quad b_k^{(1)} = (m + 1) \Phi_2^0 \nu b_k;$$

$$D_k = \sum_{i=1}^k \frac{A_{(-\gamma/\kappa)}^i}{i!} d_k^{(i)}; \quad d_k^{(i)} = \sum_{n=1}^{k-1} d_n^{(1)} d_{k-n}^{(i-1)},$$

$$d_k^{(i)} = 0 \text{ при } k < i, \quad i > 1; \quad d_k^{(1)} = (k + 1) b_{k+1};$$

$A_m^n$  — число размещений из  $m$  элементов по  $n$ . После стандартных операций получаем формулу, из которой определяем коэффициенты разложения  $B_k$  и  $D_k$ :

$$D_k \int_V \Phi_1^0 dV = \int_V \Phi_1^0 B_k dV.$$

Выпишем несколько первых коэффициентов

$$D_1 = -\beta \nu / t_*^0, \quad B_1 = -\beta \nu / t_*^0,$$

$$D_2 = \frac{(\beta \nu)^2}{2!} \left[ -\frac{\kappa}{\gamma} + \frac{(\beta - 1) \lambda_1}{\beta} \right] \frac{1}{(t_*^0)^2},$$

$$B_2 = \frac{(\beta \nu)^2}{2!} \left[ -\frac{\kappa}{\gamma} \frac{t_*^0}{t_*^0} + \frac{\beta - 1}{\beta} \right] \frac{1}{(t_*^0)^2},$$

где

$$\lambda_1 = \frac{\int_V \Phi_1^0 \Phi_2^{0^2} dV \int_V \Phi_1^0 dV}{\left( \int_V \Phi_1^0 \Phi_2^0 dV \right)^2},$$

а  $\bar{t}_*^0$  определяется из выражения

$$\bar{t}_*^0 = [(m+1) \Phi_2^0(\bar{r})]^{-1} = [(m+1) \bar{\Phi}_2^0]^{-1},$$

причем

$$(26) \quad \bar{\Phi}_2^0 = \frac{\int_V \Phi_1^0 \Phi_2^0 dV}{\int_V \Phi_1^0 dV}.$$

Непосредственные расчеты показывают, что вполне хорошее приближение при определении напряженно-деформированного состояния можно получить, если суммы бесконечных рядов (24), (25) аппроксимировать выражениями

$$(27) \quad \bar{\mu}^{m/n} = \left\{ 1 + \frac{\bar{t}_*^0}{t_*^0} \left[ \left( 1 - \frac{t}{\bar{t}_*^0} \right)^\nu - 1 \right] \right\}^\beta;$$

$$(28) \quad \bar{\mu}^{m/n} = \left( 1 - \frac{t}{\bar{t}_*^0} \right)^\nu.$$

На фиг. 1 сплошными линиями представлены эпюры распределения напряжений в толстостенной трубе на различные моменты времени. Расчет проводился по зависимостям (8) с использованием соотношений (27), (28). Характеристики материала имели значения:  $\lambda = b/a = 2$ ,  $n = g = 4$ ,  $m = 3$ ,  $B_1 = B_2 = 9,4 \cdot 10^{-9}$ ,  $\sigma_r(a) = -12$  кг/мм<sup>2</sup>. Здесь же в качестве сравнения штриховыми линиями представлены эпюры распределения напряжений, полученные при непосредственном расчете с помощью ЭВМ. При этом интервал времени от нуля до  $t$  разбивался на промежутки  $\Delta t$  и расчет проводился стандартным способом [1].

Подставляя (27), (28) в (22), получаем для времени начала распространения фронта разрушения выражение

$$(29) \quad t_* = \bar{t}_*^0 \left[ 1 - \left( 1 - t_*^0(a)/\bar{t}_*^0 \right)^{1/\nu} \right].$$

В частности,  $\bar{t}_*$ , вычисленное из выражения (29), составило 473 ч, а при непосредственном расчете  $t_* = 488$  ч. Отсюда и из сопоставления эпюр распределения напряжений, представленных на фиг. 1, видно, что изложенный метод расчета напряженно-деформированного состояния сосудов высокого давления и определения нижней границы времени разрушения дает вполне хорошее приближение к действительности. Очевидно, что по объему и сложности вычислительных процедур он намного проще и эффективнее по сравнению с традиционными [1, 2].

В частном случае, когда характеристики материала связаны соотношением ( $\beta = 1$ )

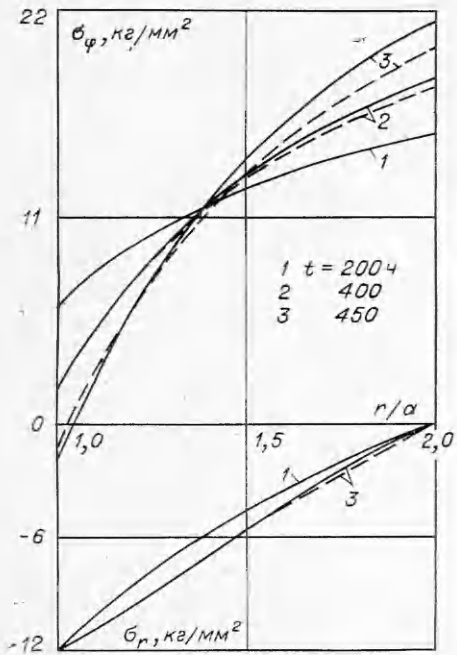
$$m = n/(2 - (n - g)) \text{ при } 1 < n - g < 2,$$

$$m = n/2 \text{ при } n = g,$$

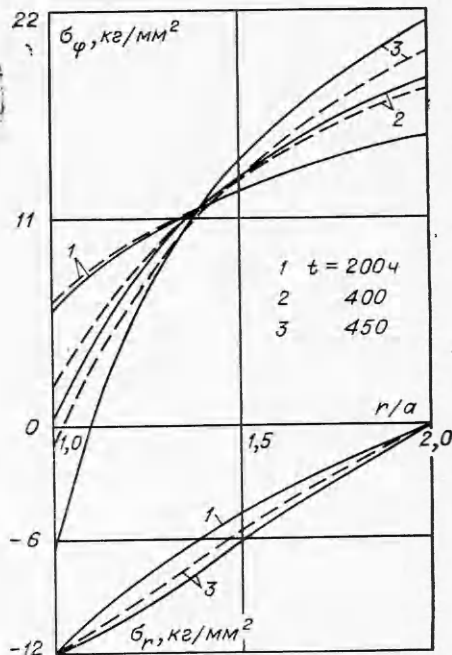
система уравнений (20), (21) имеет простое решение:

$$(30) \quad \mu^{m/n} = 1 + \frac{\bar{t}_*^0}{t_*^0} \left[ \left( 1 - \frac{t}{\bar{t}_*^0} \right)^\nu - 1 \right];$$

$$(31) \quad \bar{\mu}^{m/n} = \left( 1 - t/\bar{t}_*^0 \right)^\nu.$$



Фиг. 1



Фиг. 2

Этот же результат можно получить непосредственно из (24), (25). Нижняя граница времени разрушения определяется из выражения (29) с заменой  $\nu$  на  $\gamma$  ( $\nu = \gamma$  при  $\beta = 1$ ).

Оказывается, что в случае  $\beta \neq 1$  вполне удовлетворительное приближение при расчете напряженно-деформированного состояния можно получить, если суммы бесконечных рядов (24), (25) аппроксимировать выражениями (30), (31). На фиг. 2 сплошными линиями представлены соответствующие эпюры распределения напряжений на различные моменты времени, подсчитанные по соотношениям (8) с использованием (30), (31) (штриховая линия — то же, что и на фиг. 1). Нижняя граница времени разрушения, определенная из (29), где  $\nu$  заменено на  $\gamma$ , составила 461 ч.

Отметим, что в работе [5] на основе исследования распространения фронта разрушения в произвольном теле с использованием простого закона накопления повреждений (что эквивалентно частному случаю  $\beta = 1$ ) получена нижняя оценка времени разрушения  $t_* \geq \bar{t}_*^0$ , которая вполне согласуется с выражением (29).

Из соотношений (8), (11), (19), (30), (31) видно, что в случае  $\beta = 1$  эпюра распределения интенсивности напряжений на любой момент времени  $0 < t \leq t_*$  пересекается с аналогичной эпюрой установившейся ползучести в точке с координатой  $r = \bar{r}$ , т. е. в процессе ползучести интенсивность напряжений в этой точке не перераспределяется, а остается равной своему начальному значению

$$S_2(\bar{r}, t) = S_2^0(\bar{r}), \quad S_2(r, 0) = S_2^0(r).$$

Координата этой точки определяется из (26) и не зависит от времени. В частности, для сферы

$$(32) \quad \frac{\bar{r}}{b} = \left[ \left( \frac{3g + n + 6}{n + 3} \right) \left( \frac{\lambda^{(n+3)/n} - 1}{\lambda^{(3g+n+6)/n} - 1} \right) \right]^{n/(3g+3)} \quad (1 < n - g < 2);$$

для цилиндра

$$(33) \quad \frac{\bar{r}}{b} = \left[ \frac{(g+2)(\lambda^{2/n} - 1)}{\lambda^{(2g+4)/n} - 1} \right]^{n/(2g+2)} \quad (1 < n - g < 2).$$

Видно, что координаты (32), (33) незначительно отличаются от соответствующих координат пересечения эпюр упругого распределения с установившимся, а при  $n \rightarrow \infty$  в точности совпадают с координатами пересечения упругого распределения интенсивности напряжений с распределением идеально пластическим. Этот результат совместно с (30), (31) дает возможность без привлечения ЭВМ (или с минимальным ее использованием) даже в случае  $\beta \neq 1$  рассчитать по соотношениям (8), (9) напряженно-деформированное состояние сосудов высокого давления в качестве ориентировочной оценки при проектировании. Нижняя оценка времени разрушения определяется из (29) или из выражения  $t_* \geq \bar{t}_*$ , предложенного в работе [5]. Для случая  $\beta = 1$  соотношения (8), (9) совместно с (30), (31) и (29) дают точное решение.

Поступила 19 VI 1979

#### ЛИТЕРАТУРА

1. Работнов Ю. Н. Ползучесть элементов конструкций. М., Наука, 1966.
2. Качанов Л. М. Теория ползучести. М., Физматгиз, 1960.
3. Работнов Ю. Н. О разрушении вследствие ползучести.— ПМТФ, 1963, № 2.
4. Соснин О. В. О варианте теории ползучести с энергетическими параметрами упрочнения.— В кн.: Механика деформируемых тел и конструкций. М., Машиностроение, 1975.
5. Leckie F. A., Hayhurst D. R. Creep rupture of structures.— Proc. Royal Soc. Lond. 1974, A 340.

УДК 539.1

### О ПРИНЦИПЕ СЕН-ВЕНАНА ДЛЯ СИЛЬНО АНИЗОТРОПНЫХ УПРУГИХ СРЕД

Ю. А. Боган  
(Новосибирск)

Наличие сильной анизотропии у современных композиционных материалов (как следствие, в обобщенном законе Гука для осредненных напряжений присутствуют большие параметры) приводит к тому, что предельные модели [1] характеризуются явлением «распространения» напряженного состояния.

В связи с этим возникает вопрос, в какой мере принцип Сен-Венана остается справедливым для сред с нерастяжимыми волокнами? Как показано ниже, для сред с нерастяжимыми волокнами при определенных условиях имеет место экспоненциальность убывания потенциальной энергии деформации при удалении от области приложения самоуравновешенной нагрузки [2], однако отсюда, вообще говоря, нельзя сделать вывода об экспоненциальности затухания при удалении от нагруженного участка.

Таким образом, при применении принципа Сен-Венана к средам с нерастяжимыми волокнами его необходимо формулировать в ослабленной, интегральной форме без локальных оценок напряженного состояния конструкции.

1. Не привязываясь к какой-либо конкретной модели линейно-упругого композиционного материала, соотношения обобщенного закона Гука возьмем в виде

$$(1.1) \quad \sigma_{\xi} = A_{11}\varepsilon_{\xi} + A_{12}\varepsilon_{\eta}, \quad \sigma_{\eta} = A_{12}\varepsilon_{\xi} + A_{22}\varepsilon_{\eta}, \quad \tau_{\xi\eta} = G\gamma_{\xi\eta},$$